

[文章编号] 1000-4718(2009)04-0802-04

TGF- β_1 对体外培养的大鼠心肌细胞肥大和凋亡的影响

石永英¹, 董頫², 石永华⁴, 刘启才³, 林晓圳¹, 刘世明¹, 陈敏生^{1△}(¹广州医学院第二附属医院心内科, 广东 广州 510260; 广州医学院²生理教研室,³分子生物中心, 广东 广州 510182; ⁴山西省阳泉市第一人民医院神经内科, 山西 阳泉 045000)

[摘要] 目的: 探讨转化生长因子 β_1 (TGF- β_1)对大鼠心肌细胞肥大和凋亡的影响。方法: 建立TGF- β_1 诱导的体外大鼠心肌细胞肥大模型。透射电镜观察心肌细胞形态。碘化丙啶(PI)染色标记法检测心肌细胞RNA含量。实时荧光定量PCR(Real time PCR)检测心肌细胞胚心基因肌球蛋白重链 β 亚型(β -MHC)的表达。TdT-FragEL染色检测心肌细胞凋亡。Annexin/VAAD双染法、直接免疫荧光标记法经流式细胞仪检测心肌细胞凋亡率及心肌细胞中caspase-3水平。结果: TGF- β_1 刺激24 h后, 心肌细胞 β -MHC mRNA水平明显高于对照组($P < 0.01$); PI染色结果TGF- β_1 组RNA含量明显增高, 并呈剂量依赖性($P < 0.01$)。TdT-FragEL染色观察, TGF- β_1 可增加心肌细胞凋亡率($P < 0.01$)。与对照组相比, TGF- β_1 可明显上调心肌细胞中caspase-3($P < 0.01$); TGF- β_1 诱导的心肌细胞凋亡率增加($P < 0.01$)。透射电镜观察TGF- β_1 可诱导心肌细胞肥大和凋亡。结论: TGF- β_1 可同时诱导心肌细胞肥大和凋亡, 诱导凋亡可能与caspase-3有关。

[关键词] 转化生长因子 β ; 心肌细胞; 肥大; 细胞凋亡; 半胱氨酸天冬氨酸蛋白酶3

[KEY WORDS] Transforming growth factor beta; Cardiomyocytes; Hypertrophy; Apoptosis; Caspase-3

[中图分类号] R363 **[文献标识码]** A

转化生长因子 β_1 (transforming growth factor β_1 , TGF- β_1)是一种调控细胞生长的重要细胞因子, 参与免疫调节、创伤修复、胚胎发生、细胞增殖与凋亡、造血调控等过程。实验研究发现血管紧张素Ⅱ(angiotensin II, AngII)可促进心肌成纤维细胞分泌TGF- β_1 , 并通过TGF- β_1 参与心肌细胞肥大过程。TGF- β_1 可刺激心肌细胞合成收缩蛋白, 使其转变为心肌样细胞而增厚; 同时通过调控细胞外基质合成和降解参与心肌肥厚、心肌纤维化的形成。心肌细胞凋亡可为肥大的促发因素, 心肌细胞肥大又可导致细胞凋亡, 心肌细胞肥大和凋亡相互促进。本实验将探讨体外实验时TGF- β_1 对心肌细胞肥大和凋亡的双重影响和可能机制。

材料和方法

1 材料

1.1 动物 1~3 d龄SD大鼠。

1.2 试剂 TGF- β_1 、凋亡检测试剂盒Fluorescein FragEL™ DNA Fragmentation Detection Kit为Calbiochem产品。Trizol总RNA提取试剂及RT-PCR两步法试剂盒SuperScript™ III购自Invitrogen。RNA引物由TaKaRa公司合成。SYBR® Green I荧光定量PCR试剂盒为Stratagene产品。

1.3 实验分组 实验分为4组, 包括空白对照组、TGF- β_1 不同剂量组($0.1\ \mu\text{g}/\text{L}$ 、 $1\ \mu\text{g}/\text{L}$ 、 $3\ \mu\text{g}/\text{L}$)。TGF- β_1 作用24 h。

2 方法

2.1 原代心肌细胞的培养 按照Simpson改良法^[1~3]分离培养新生大鼠心肌细胞, 0.25% 胰酶溶液消化分离心肌细

胞, 经差速贴壁分离法使心肌成纤维细胞分离。将细胞混悬于含5-溴脱氧尿嘧啶及20%胎牛血清DMEM培养液中, 按 $1 \times 10^9\ \text{cells}/\text{L}$ 密度接种于不同细胞培养板中, 置37℃、5%CO₂培养箱中培养。48 h后更换为10%胎牛血清的培养液。48 h后换无血清培养液。无血清培养24 h后加入药物刺激心肌细胞24 h。

2.2 心肌细胞形态学观察及鉴定^[4] 倒置相差显微镜下动态观察。

2.3 PI标记心肌细胞双链RNA 心肌细胞中RNA含量增加可间接表示心肌细胞呈肥大表现^[1]。PI是一种荧光染料, 可以对双链DNA和RNA进行荧光标记^[2]。细胞经药物刺激24 h后用无水乙醇-20℃固定过夜; 用DNaseI消化DNA, 在37℃温育40 min。用D-H液稀释的PI染料(0.05 g/L), 在4℃放置30 min。荧光倒置显微镜下观察记录结果; Image-Pro Plus图像分析软件分析图像结果。

2.4 实时RT-PCR Trizol法经裂解、纯化、沉淀、洗涤及溶解等步骤提取总RNA。按SuperScript™ III说明书进行两步法逆转录及PCR说明进行普通PCR。用SYBR Green I荧光定量PCR法检测mRNA的表达。根据基因库中序列, 利用软件Primer Premier 5.0设计特异引物如下: β -MHC上游引物5'-TGC AGT TAA AGG TGA AGG C-3', 下游引物5'-CAG GGC TTC ACA GGC AT-3', 合成产物203 bp; GAPDH上游引物5'-CCG ACT CAA CGG ATT TGG TGG TAT-3', 下游引物5'-AGC CTT CTC CAT GGT GGT GAA GAC-3', 合成产物130 bp; PCR marker作为标准分子量内参照进行产物鉴

[收稿日期] 2008-04-08 [修回日期] 2008-07-29

△通讯作者 Tel:020-81340206; Fex:020-81340206; E-mail:dongqistar@hotmail.com

定。反应在 Mx3000P 荧光定量 PCR 仪 (Stratagene) 上进行, 变性、退火、延伸条件如下: ① 94 °C 5 min; ② 94 °C 50 s, 56 °C 50 s, 72 °C 50 s, 40 个循环; ③ 72 °C 7 min。Excel 工作表中用 $\Delta\Delta Ct$ 法分析循环阈值, 相对定量 mRNA^[5]。所有 PCR 反应均重复 1 次。

2.5 荧光 TdT - FragEL 片段检测试剂盒凋亡染色 室温下用 4% 多聚甲醛/PBS 固定细胞 10~30 min; 蛋白酶 K(1/100 Tris 稀释) 行组织通透。阳性对照: 1 g/L DNaseI 用 1×TBS 稀释, 在室温下孵育 20 min; 阴性对照: TdT 酶 (ddH₂O 稀释)。用 ddH₂O 稀释 5×TdT 缓冲液, 室温孵育 30 min 后吸干 TdT; 加 60 μL TdT 混合液 (冰上配制: 每 57 μL FragEL reaction Mix 加入 3 μL TdT 酶), 37 °C 保湿避光孵育 1~1.5 h。荧光倒置显微镜下细胞凋亡表达为绿色荧光, 每组取 5 个 × 100 高倍视野, 计数 500 个细胞中凋亡细胞个数, 取平均百分比为凋亡率。

2.6 FCM 检测细胞凋亡和 caspase - 3 细胞经给药刺激 24 h 后用 0.25% 胰酶消化约 2.5 min, 收集细胞液于 15 mL 离心管中 1 000 r/min 离心 5~10 min。加入预冷的 75% 乙醇 2 mL 轻柔吹打固定为单细胞悬液。Annexin/V7AAD 双染法或直接免疫荧光标记法经流式细胞仪 (BD 公司) 分别上机进行细胞凋亡、caspase - 3 的检测。

2.7 电镜观察心肌细胞形态 同前方法收集细胞后, 离心成细胞团块, 2.5% 戊二醛 + 多聚甲醛固定, 1% 四氧化锇固定, 乙醇逐级脱水, Epon812 环氧树脂包埋, 超薄切片机半薄切片 (1 μm) 定位后, 进行超薄切片 (厚度 50~70 nm), 醋酸铀、柠檬酸染色, 上机观察 (JEOL 公司)。

2.8 统计学处理 数据以均数 ± 标准差 ($\bar{x} \pm s$) 表示。采用 SPSS11.0 统计软件包进行统计分析, 采用方差分析及 *t* 检验。

结 果

1 倒置显微镜观察心肌细胞

刚分离的心肌细胞呈球形, 培养 24 h 后细胞贴壁生长, 伸出伪足呈三角形、多边形等, 多数细胞出现自发性搏动。48 h 后细胞伸出伪足相互交织成网, 逐渐形成细胞簇或细胞单层, 放射状排列的同心圆状, 搏动呈同步性。培养的心肌细胞在 3~7 d 内细胞形态和细胞搏动良好。

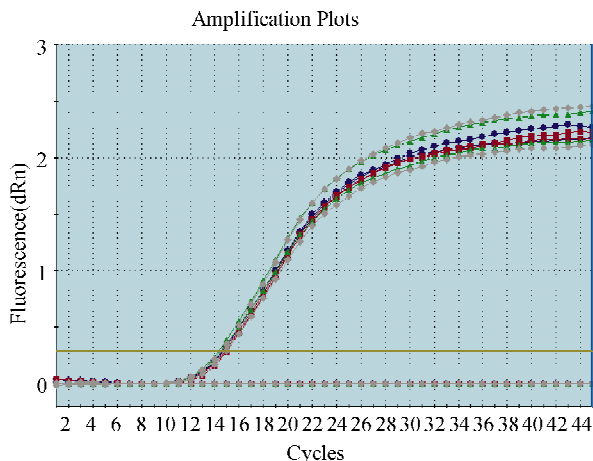


Fig 2 Effect of TGF - β₁ on β - MHC detected by real time RT - PCR. left: express of GAPDH. right: express of β - MHC in different groups.

图 2 实时 RT - PCR 检测 TGF - β₁ 对心肌细胞肥大基因 β - MHC 的影响

2 PI 标记心肌细胞双链 RNA

PI 标记的心肌细胞倒置荧光显微镜下呈红色荧光, 荧光亮度及面积与 RNA 表达量呈正相关。对照组 PI 荧光强度为 (63.55 ± 2.59), TGF - β₁ (0.1 μg/L) 组、TGF - β₁ (1 μg/L) 组、TGF - β₁ (3 μg/L) 组为分别为 (72.68 ± 3.12)、(75.36 ± 3.29) 及 (80.57 ± 3.56), 均较对照组明显增高, 且呈剂量依赖性 (*P* < 0.01), 见图 1。

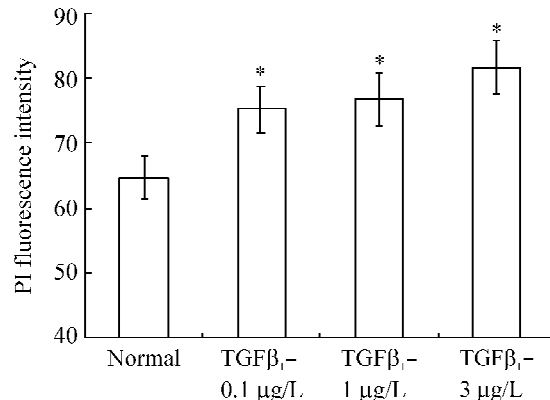


Fig 1 Expression of cardiomyocytes RNA marked with PI. $\bar{x} \pm s$. *n* = 6. * *P* < 0.01 vs normal group.

图 1 PI 标记心肌细胞双链 RNA 表达

3 实时 RT - PCR 检测胚心基因 β - MHC mRNA

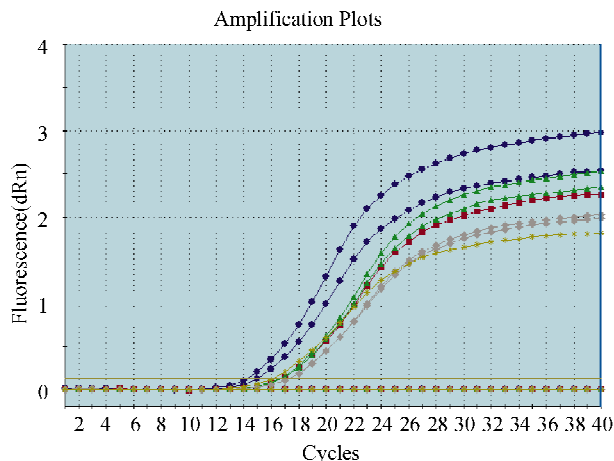
相对于对照组, TGF - β₁ 组 β - MHC mRNA 均明显增高 (*P* < 0.01), 其中 TGF - β₁ (3 μg/L) 组 β - MHC 最高 (10.77 ± 0.46), 见表 1、图 2。

表 1 实时 RT - PCR 检测 TGF - β₁ 对心肌细胞肥大基因 β - MHC 的表达

Tab 1 Effect of TGF - β₁ on expression of β - MHC mRNA in cardiomyocytes by RT - PCR ($\bar{x} \pm s$, *n* = 6)

Group	Average ct	Δct	$\Delta\Delta ct$	$2^{-\Delta\Delta ct}$
Normal	15.85 ± 0.56	-4.28 ± 0.25	0	1
TGF - β ₁ 0.1 μg/L	15.88 ± 0.46	-4.47 ± 0.51	-0.19 ± 0.05	1.14 ± 0.08 [△]
TGF - β ₁ 1 μg/L	13.48 ± 0.84	-7.71 ± 0.34	-3.43 ± 0.06	10.77 ± 0.46 [△]
TGF - β ₁ 3 μg/L	14.46 ± 0.23	-5.35 ± 0.53	-1.07 ± 0.04	2.10 ± 0.11 [△]

[△] *P* < 0.01 vs normal control group.



4 荧光 TdT - FragEL 片段法检测心肌细胞凋亡

体外培养的原代心肌细胞中,对照组凋亡率为 2.3%;

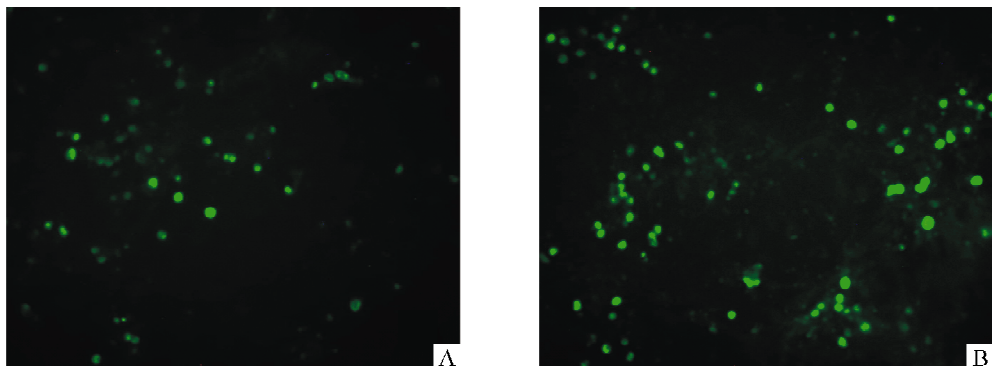


Fig 3 Effect of TGF- β_1 on apoptosis of rat ventricular cardiomyocytes detected by FragEL ($\times 200$). A: Normal control; B: TGF- β_1 (3 $\mu\text{g}/\text{L}$). TGF- β_1 can induce cardiomyocytes apoptosis.

图 3 TGF- β_1 对大鼠心肌细胞凋亡的影响

5 FCM 检测细胞凋亡

与对照组相比,TGF- β_1 各组心肌细胞凋亡率均增高,并呈剂量依赖性($P < 0.01$),TGF- β_1 各组凋亡相关因子 caspase-3 均明显增高($P < 0.01$),见表 2。

6 电镜观察

电镜下观察心肌超微结构,对照组心肌细胞形态均匀,心肌细胞内肌丝排列整齐,心肌细胞核内染色质正常,线粒体形态正常(图 4A, $\times 8000$)。TGF- β_1 组心肌细胞核浓缩,染色质核边集,线粒体空泡变,细胞凋亡(图 4B, $\times 5000$);同时观察到 TGF- β_1 组心肌细胞肌丝增多,排列紊乱,线粒体肿大明显,呈细胞肥大表现(图 4C, $\times 10000$)。

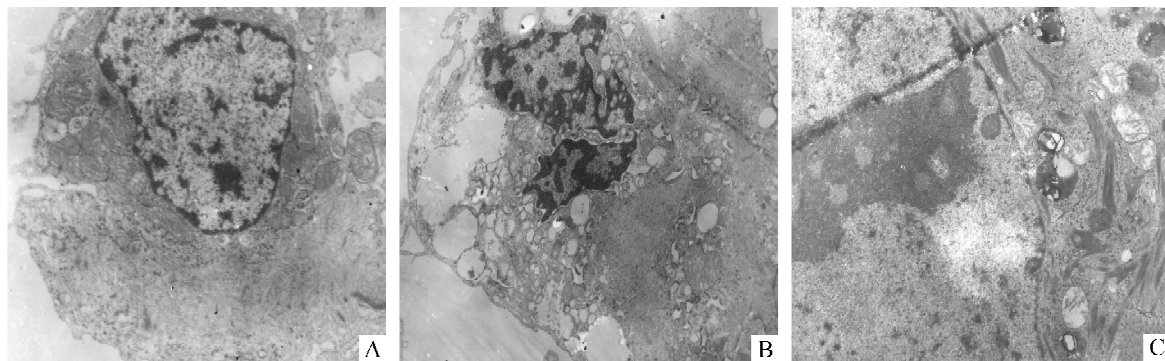


Fig 4 Hypertrophy and apoptosis of cardiomyocytes detected by electron microscope. A: Normal control group cardiomyocytes were uniformity in appearance and regularity in row of actin filament. Caryotin inside caryon and cytomicrosome are eumorphism ($\times 8000$). B: TGF- β_1 group cardiomyocytes expressed apoptosis by concentrate of caryon and vacuole of cytomicrosome. C: Cardiomyocytes showed hypertrophy with increase of actin filament and tumefaction of cytomicrosome in TGF- β_1 group.

图 4 电镜观察心肌细胞形态学改变

讨 论

TGF- β_1 在心血管疾病的发生发展中起重要作用。有研究显示,一些与高血压心肌肥厚有关的体液因素如 AngII、NPY 等均可以刺激心肌细胞分泌 TGF- β_1 ,并通过 TGF- β_1 诱导心肌肥大,血清 TGF- β_1 水平与高血压水平呈正相关^[6]。但是,TGF- β_1 引起高血压心肌细胞肥大的作用机制

TGF- β_1 作用后心肌细胞凋亡率明显增高达 9.4%,与对照组比较有显著差异($P < 0.01$),见图 3。

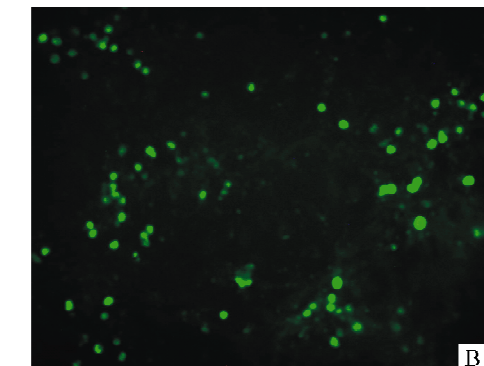


表 2 FCM 检测心肌细胞凋亡率及凋亡相关蛋白 caspase-3 的表达

Tab 2 Apoptotic rate and caspase-3 detected by FCM ($\bar{x} \pm s, n = 4$)

Group	Rate of apoptosis (%)	Caspase-3
Normal	$4.45 \pm 1.12^*$	2.70 ± 0.35
TGF- β_1 0.1 $\mu\text{g}/\text{L}$	$10.90 \pm 2.15^*$	15.30 ± 1.86
TGF- β_1 1 $\mu\text{g}/\text{L}$	$12.88 \pm 1.96^*$	18.70 ± 1.88
TGF- β_1 3 $\mu\text{g}/\text{L}$	$15.40 \pm 2.54^*$	23.00 ± 2.72

* $P < 0.05$ vs normal control group.

并不明确^[7-8]。心肌细胞肥大的主要表现为心肌收缩蛋白如 MLC-2 等的上调,早期应答基因如 c-fos、c-myc 等及心脏胚胎基因如 ANF、 α -sk actin、 β -MHC 等的表达。心肌细胞肥大时,胚心基因 β -MHC 表达增加,细胞表型从“收缩表型”向“合成表型”转变,心肌细胞收缩性降低,重新获得合成能力,因此 β -MHC 增加被认为是心肌细胞肥大的特征之一。目前关于 TGF- β_1 在心肌细胞肥大中具体的作用机制

国内外少见报道,TGF- β_1 在体外是否引起MHC转换仍不清楚。

高血压时心肌肥大与凋亡的关系已有共识,心肌细胞在各种刺激因素的影响下可发生异常细胞凋亡,凋亡心肌被胶原纤维取代,产生心肌纤维化、心肌肥厚。Teiger等用大鼠胸主动脉缩窄引起的心脏肥大模型首次证实了心肌细胞的凋亡与心肌肥大密切相关^[9]。卢江华等^[10]的实验发现细胞凋亡参与了心肌肥大早期的形成过程。在自发性高血压大鼠(SHR)左心室肥厚的研究中同样发现肥厚心肌组织可表达凋亡调节蛋白Bax等,显示SHR左心室心肌肥厚的同时存在细胞凋亡^[11]。多种细胞因子均参与了心肌细胞肥大和凋亡的调控过程,但TGF- β_1 致肥大效应是否与凋亡增加有关,目前还不清楚。

Caspase-3则是细胞凋亡通路中的关键蛋白酶,它的作用底物分别参与了DNA修复、mRNA裂解、类固醇生物合成和细胞骨架重建等过程。Caspase-3受到内外因素刺激时可被激活,导致多种细胞凋亡^[12]。本实验通过建立原代培养的心肌细胞肥大模型,观察TGF- β_1 对心肌细胞的肥大和凋亡的作用。结果显示TGF- β_1 可使胚心基因 β -MHC mRNA水平明显增高,心肌细胞RNA含量增加。同时TGF- β_1 可诱导心肌细胞凋亡率明显增加,并显著上调caspase-3,推测TGF- β_1 可能通过caspase-3诱导心肌细胞凋亡。电镜观察也显示心肌细胞在TGF- β_1 诱导下同时存在肥大和凋亡表现。

本实验结果显示TGF- β_1 可同时促进原代培养的心肌细胞发生肥大和凋亡,为进一步探讨TGF- β_1 对心肌细胞肥大与凋亡的关系建立实验基础。在心肌细胞中,TGF- β_1 的信号通路如Smads的激活是否与同时出现的细胞肥大和凋亡密切相关,以及Smads通路对下游蛋白的作用等问题均有待进一步研究。随着细胞凋亡研究的深入,我们可能从新的角度认识高血压病,心肌细胞凋亡干预有望成为新的治疗途径。

[参考文献]

- [1] Lokuta A, Kirby MS, Gaa ST. On establishing primary cultures of neonatal rat ventricular myocytes for analysis over long periods [J]. *Cardiovasc Electrophysiol*, 1994, 5 (1):50-62.
- [2] Simpson P, Savion S. Differentiation of rat myocytes in single cell cultures with and without proliferating nonmyocardial cells. Cross-striations, ultrastructure, and chronotropic response to isoproterenol [J]. *Circ Res*, 1982, 50 (1):101-116.
- [3] 陈爱兰, 陈敏生, 何兆初, 等. 伊贝沙坦对血管紧张素II所致心肌细胞蛋白质合成和肌球蛋白重链表达的影响[J]. 现代临床医学生物工程学杂志, 2006, 12(6): 475-477.
- [4] 邝美仙, 李应东. 乳鼠心肌细胞的培养[J]. 中医药学刊, 2007, 25(3):474-475.
- [5] Livak KJ, Schmittgen TD. Analysis of relative gene expression data using real-time quantitative PCR and the 2-CT method [J]. *Methods*, 2001, 25(4):402-408.
- [6] Phyllis A, Manikkam S. Transforming growth factor β signaling, vascular remodeling, and hypertension [J]. *N Engl J Med*, 2006, 354(25): 2721-2723.
- [7] Schroder D, Heger J, Piper HM, et al. AngII stimulates apoptosis via TGF- β 1/beta1 signaling in ventricular cardiomyocytes of rat [J]. *J Mol Med*, 2006, 84(11):975-983.
- [8] Yun SH, Shin JO, Lim BK, et al. Change in the cells that express connective tissue growth factor in acute Coxsackievirus-induced myocardial fibrosis in mouse [J]. *Virus Res*, 2007, 126(1-2):62-68.
- [9] Weibin Shi, Chuanxi Sun, Bin He, et al. GADD34-PP1c recruited by Smad7 dephosphorylates TGF β type I receptor [J]. *J Cell Biol*, 2004, 164(2):291-300.
- [10] 卢江华, 肖静, 罗红琳, 等. 后负荷增大引起的心肌肥厚过程中细胞凋亡的变化规律[J]. 生物医学工程杂志, 2001, 18(2): 169-172.
- [11] 刘继东, 鹿克风, 张欣, 等. 自发性高血压大鼠心肌fas基因表达与左室肥厚关系探讨[J]. 高血压杂志, 2003, 11(3):272-274.
- [12] 王秀丽, 董红岩, 杨金霞, 等. 蛋白酪氨酸磷酸酶SHP-2对去血清培养诱导的293T细胞凋亡的作用[J]. 中国病理生理杂志, 2008, 24(3):548-551.